

Используя указанные выражения для ω_2 , C_1 а также ур-ние (5), получаем

$$\frac{\omega_1^2}{C_0'^2} = \frac{B^2 \varphi_c^2 (1 - \varrho)}{\psi^2} - \varrho,$$

что, после подстановки в выражение для T_2/T_1 , дает

$$\frac{T_2}{T_1} = \frac{2}{2 + (k - 1) M_2^2 \left[\varrho - \frac{1 - \psi^2}{\psi^2} B^2 \varphi_c^2 (1 - \varrho) \right]} \quad (7)$$

или, после подстановки в полное выражение для B ,

$$B = \frac{D_c l_c \sin \alpha_1}{D_p l_p \sin \beta_2} \left[1 + \frac{\varrho (k - 1) M_2^2}{2} \right]^{\frac{k}{k-1}} \times \left[\frac{2}{2 + (k - 1) M_2^2 \left[\varrho - \frac{1 - \psi^2}{\psi^2} B^2 \varphi_c^2 (1 - \varrho) \right]} \right] \quad (8)$$

Ур-ние (8) проще всего решается итерационным методом, причем в первом приближении (для $\psi \approx 1$) принимается

$$B \approx \frac{D_c l_c \sin \alpha_1}{D_p l_p \sin \beta_2} \left[1 + \frac{\varrho M_2^2}{2} \right] \quad (8')$$

Задаваясь различными значениями ϱ и ψ , находим сначала B по ур-нию (8), потом по ур-нию (6) $\frac{u}{C_0''}$ и $\frac{u_1}{C_0''} = \frac{D_1}{D} \cdot \frac{u}{C_0''}$ и коэффициент расхода ступени

$$\varphi = \frac{C_{z2}}{C_0''} = B \varphi_c \sqrt{1 - \varrho} \sin \beta_2. \quad (9)$$

Сопоставляя вычисленные значения φ и полученные опытным путем (рис. 5), нетрудно по точкам пересечения кривых найти действительные значения $\psi = f(u_1/C_0'')$ (рис. 5), $\varrho = f(u_1/C_0'')$ (рис. 6). На рис. 6 приведена также кривая $\varrho_{ид}$, вычисленная для случая $\psi = const$.

Из рис. 6 видно, что уже при $u_1/C_0'' < 0,4$ такое предположение приводит к недопустимым неточностям в оценке значения ϱ .

Для проведенных опытов характерно, что при малых значениях u_1/C_0'' реакция уменьшалась незначительно.

Литература

1. Гришук С. В., Аэродинамические исследования турбинных ступеней НЗЛ с закрученными лопатками, «Энергомашиностроение», 1957, № 4.
2. Завадовский А. М., Влияние некоторых конструктивных параметров на характеристики турбинной ступени, «Теплоэнергетика», 1956, № 10.
3. Кириллов И. И. и Кириллов А. И., Турбинные ступени, развивающие большой момент при трогании с места, «Энергомашиностроение», 1960, № 9.
4. Зальф Г. А. и Звягинцев В. В., Тепловой расчет паровых турбин, Машгиз, 1961.

Расчет прямой решетки телесных профилей по методу особенностей с углом атаки

Инж. А. М. Гохман

Приводится способ расчета прямой решетки телесных профилей, основанный на введении некоторых дополнительных условий, достаточных для существования замкнутой линии тока вокруг скелета, по сравнению с другими известными методами.

При решении обратной задачи обтекания прямой решетки (рис. 1) невязкой, несжимаемой жидкостью по методу особенностей в советских работах [1], [2] и за рубежом [3], [4] исходят из следующих положений.

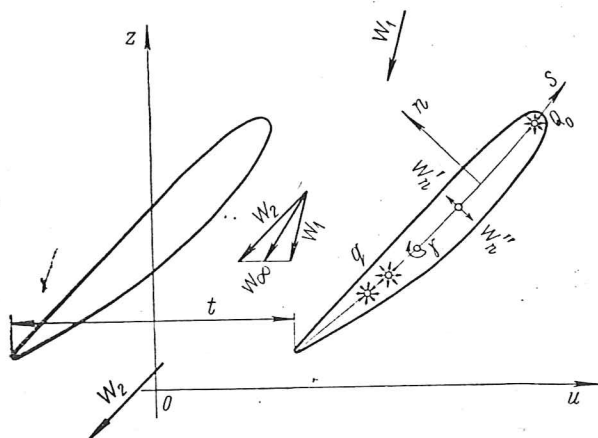


Рис. 1. Прямая решетка телесных профилей.

1. Профиль представляет собой замкнутую линию тока с двумя точками разветвления: одна — на округлой входной части профиля, а вторая — на острой выходной кромке.
2. Поток вне профиля потенциальный.

3. Внутри профиля расположены особенности: вихри γ ; источники и стоки q .

4. Сумма интенсивностей всех вихрей равна циркуляции Γ , которую должен вносить в поток профиль решетки, $\Sigma \gamma = \Gamma$.

5. Сумма интенсивностей всех источников и стоков равна нулю, т. е. $\Sigma q = 0$.

Для облегчения решения обратной задачи все особенности располагают на отрезке линии длиной l . Вихри задают распределенными в виде ряда

$$\gamma(s) = A_0 \sqrt{\frac{1+s}{1-s}} + A_1 \sqrt{1-s^2} + A_2 2s \sqrt{1-s^2} + \dots, \quad (1)$$

где s — расстояние вдоль линии особенностей (на входе $s = l/2$, на выходе $s = -l/2$), или в тригонометрической форме

$$\gamma(\theta) = A_0 \operatorname{ctg} \frac{\theta}{2} + \sum_{k=1}^{\infty} A_k \sin k\theta, \quad (1')$$

где $s = \cos \theta$.

Согласно 4-му положению

$$\int_{-0,5l}^{0,5l} \gamma(s) ds = \int_{\arccos(-0,5l)}^{\arccos(0,5l)} -\gamma(\theta) \sin \theta d\theta = \frac{\pi l}{2} \left(A_0 + \frac{1}{2} A_1 \right) = \Gamma. \quad (2)$$

В точке $s = 0,5l$ помещают точечный источник Q_0^* и вдоль всего отрезка особенностей задают распределенные источники и стоки в виде ряда

$$q(s) = B_1 + B_2s + B_3s^2 + B_4s^3. \quad (3)$$

Согласно 5-му положению

$$\int_{-0,5l}^{0,5l} q(s) ds + Q_0^* = 0. \quad (4)$$

На отрезок особенностей во всех указанных работах было наложено принципиально неправильное требование, а именно: он определялся как отрезок линии, через который ни в одной точке нет перетекания, т. е. $W'_n + W''_n = 0$, где $W'_n = 0,5q$ и $W''_n = -0,5q$ — нормальные скорости соответственно с рабочей и тыльной стороны этого отрезка. Отрезок особенностей, который в таком виде называют скелетом профиля, находят методом итераций по формуле, приведенной в работе [1]

$$-(W_{\infty u} + V_u) \sin \beta + (W_{\infty z} + V_z) \cos \beta + v_n = 0. \quad (5)$$

Во всех опубликованных работах 5-е положение считалось необходимым и достаточным условием для существования замкнутой линии тока вокруг скелета, не пересекающей его. То, что это положение недостаточное, впервые заметил Л. Б. Гинзбург¹. Им была обнаружена в частном случае незамыкаемость профиля и указана возможность исправления этого явления проектированием скелета с перетеканием $W'_n + W''_n \neq 0$; однако сам Гинзбург отказался от этой возможности и предложил чисто геометрический прием построения замкнутого профиля, не являющегося одной линией тока.

Достаточные условия существования замкнутой линии тока вокруг скелета. Перейдем к относительным координатам $x = \frac{s}{0,5l}$

и $y = \frac{n}{0,5l}$ (n — расстояние по нормали от скелета), т. е. скелет будет криволинейным отрезком длины $l = 2$ $[-1, 1]$ (рис. 2). Так как на входе в точке скелета A ($x = 1,000$) есть точечный источник Q_0^* , то точка разветвления K находится от A на конечном расстоянии.

В указанных работах предполагалось, что можно всегда без излома продлить скелет по линии тока, идущей от точки A в точку K , а затем по ней разделить профиль на тыльную и рабочую полости без перетеканий из одной полости в другую.

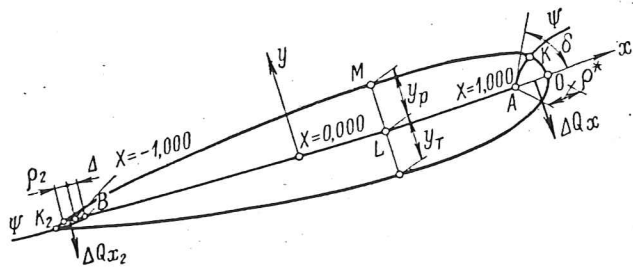


Рис. 2. Замкнутая линия тока вокруг скелета.

Покажем, что это неправильно. Продолжим скелет по касательной до пересечения в точке O ($x = 1 + q^*$) с линией тока, раздвоившейся в точке K . Так как касательное продолжение ориентировано по левым предельным значениям скоростей в точке A , то в общем случае через него будет перетекание ΔQ_x . Рассмотрим пространство OKA , ограниченное кусками линии тока AK и KO и касательным продолжением AO . Через AK и KO перетекания нет, а так как через AO есть перетекание ΔQ_x , то, по теореме Гаусса, точечный источник, находящийся в точке A , должен давать в пространство AOK расход, равный ΔQ_x ; значит, между линиями AK и AO в точке A должен быть угол $\delta = \frac{2\pi\Delta Q_x}{Q_0^*}$, что и требовалось доказать. Отсюда ясно, что

безразлично как делить профиль на тыльную и рабочую полости — по линии тока, по касательному продолжению или

по любому другому продолжению, так как в любом случае из одной полости в другую будет перетекать расход ΔQ_x . Теперь перейдем к достаточным условиям. Прежде всего введем другое определение скелета. Под скелетом будем понимать отрезок линии, на котором расположены все особенности и в каждой точке которого возможно перетекание, т. е. в отличие от предыдущего определения [1], [3]

$$W'_y + W''_y = 2\bar{W}_y \neq 0.$$

Такой скелет будем находить по формуле, аналогичной ф-ле (5)

$$-(W_{\infty u} + V_u) \sin \beta + (W_{\infty z} + V_z) \cos \beta + v_y = \bar{W}_y. \quad (6)$$

Достаточные условия существования вокруг скелета замкнутой линии тока, не пересекающей скелет и имеющей критические точки на округлой входной части и на острой выходной кромке следующие:

1. Ряд присоединенных вихрей должен отвечать условию Чаплыгина

$$\gamma = 0 \text{ при } x = -1,000.$$

2. Точечный источник, расположенный в точке $x = 1,00$, должен иметь интенсивность $Q_0^* > 2\Delta Q_x$ или должен быть вынесен в точку касательного продолжения $x_1 > 1,00$.

3. В каждой точке скелета x $[-1 < x \leq 1 + q]$

$$\frac{1}{2} \left[\int_x^{1+q^*} q(x) dx + Q_0^* \right] - \left| \int_x^{1+q^*} \bar{W}_y dx + \Delta Q_x \right| > 0. \quad (7)$$

4. Сумма всех источников и стоков равна нулю

$$Q = \int_{-1,0}^{1,0+q^*} q(x) dx + Q_0^* = 0. \quad (8)$$

5. Если обозначить координату точки пересечения касательного продолжения на выходе с одной из ветвей, раздвоившейся в точке K_2 линии тока, через $x_2 = -1 - q_2^*$ и перетекание через это продолжение через ΔQ_{x_2} , то

$$\int_{-1-q_2^*}^{1+q^*} \bar{W}_y dx + \Delta Q_x + \Delta Q_{x_2} = 0. \quad (9)$$

6. Распределенные источники и стоки в окрестности $x = -1,00$ должны отвечать условию $q(x) < 0$.

Для того чтобы перейти к доказательству, выведем формулу для координат линии тока, раздвоившейся в точке K (рис. 2). Рассмотрим пространство OLM рабочей полости профиля. По теореме Гаусса

$$\oint_{OLM} W_n ds = \frac{1}{2} \left[\int_x^{1+q^*} q(x) dx + Q_0^* \right]$$

или

$$-\int_0^{y_p} W_x dy + \int_{OM} W_n ds - \int_x^{1+q^*} W_y dx = \frac{1}{2} \left[\int_x^{1+q^*} q(x) dx + Q_0^* \right],$$

где $\int_{OM} W_n ds = 0$; OM — линия тока;

$\int_x^{1+q^*} W_y dx = \int_x^{1+q^*} \bar{W}_y dx + \Delta Q_x$ — из определения скелета, т. е.

$$-\int_0^{y_p} W_x dy = \frac{1}{2} \left[\int_x^{1+q^*} q(x) dx + Q_0^* \right] + \left(\int_x^{1+q^*} \bar{W}_y dx + \Delta Q_x \right). \quad (10)$$

¹ Отчет Сызранского гидротурбинного завода за 1956 г.

Аналогично для тыльной стороны

$$\int_0^{y_T} W_x dy = \frac{1}{2} \left[\int_x^{1+Q^*} q(x) dx + Q_0^* \right] - \left(\int_x^{1+Q^*} \bar{W}_y dx + \Delta Q_x \right). \quad (11)$$

Перейдем к рассмотрению достаточных условий. Условие 2 обеспечит существование критической точки на входе. В первом случае, если $Q_0^* > 2\Delta Q_x$, то $\delta < \pi$ ($\delta = \frac{2\pi\Delta Q_x}{Q_0^*}$); значит линия

тока, идущая из точки $x = 1,000$ в критическую точку K , будет существовать. Во втором случае критическая точка будет существовать потому, что скорость от присоединенных вихрей в точке $x_1 > 1,00$ имеет конечную величину, а скорость от источника бесконечна в этой точке.

Условие 3 гарантирует положительную правую часть ур-ний (10) и (11), а следовательно, не равные нулю значения y_p и y_T ($y_T < 0$), т. е. обе ветви линии тока, раздвоившейся в точке K , не пересекут скелет ни в одной внутренней точке.

Условия 1 и 6 обеспечат существование критической точки на выходе, так как величина перетекания через касательное продолжение на выходе ΔQ_{x_2} будет несоизмеримо мала по сравнению с интенсивностью расходного ряда 3 в районе $x = -1,000$.

Условия 4 и 5 приводят к тому, что две ветви линии тока, раздвоившейся в точке K на входе, и линия тока, идущая из точки B , на выходной части скелета $x_B = -1 + \Delta \left(\int_{-1}^{-1+Q} q(x) dx \right) = \Delta Q_{x_2}$ имеют одно и то же значение функции тока, т. е. они

должны пересечься в критической точке разветвления на острой входной кромке (рис. 2). Таким образом, достаточность наших условий доказана. Вообще можно показать, что условия 1, 4, 5 и 6 являются также необходимыми.

При практических расчетах величинами Q_2^* и ΔQ_{x_2} можно пренебречь.

В тех случаях, когда первый член ряда (1) отсутствует, т. е. $\gamma = 0$, при $x = 1,00$ можно пренебречь и величиной ΔQ_x [5]. Но при расчетах с первым членом ряда (1), т. е. с углом атаки, величина ΔQ_x принимает большое значение и ее надо вводить в расчет. В связи с тем, что расчеты с углом атаки имеют большое практическое применение, исследуем этот вопрос.

Перетекание ΔQ_x , вызванное первым членом ряда (1). Вычислим нормальные скорости, возникающие на скелете и продолжениях основного профиля [5] от распределенного на нем вихревого слоя, заданного первым членом ряда (1) (рис. 3), что адекватно обтеканию плоскопараллельным потоком одиночной пластины с углом атаки.

В точке скелета x_0

$$v_{y_0y} = \frac{A_0}{2\pi} \int_{-1,0}^{1,0} \frac{\sqrt{\frac{1+x}{1-x}}}{x-x_0} dx.$$

Сделав замену $\sqrt{\frac{1+x}{1-x}} = t$, получаем

$$v_{y_0y} = \frac{A_0}{2\pi} \left[\pi + 2 \int_0^\infty \frac{1}{t^2 \frac{1-x_0}{1+x_0} - 1} dt \right].$$

Если $|x_0| < 1$ (точка на скелете), то $t \sqrt{\frac{1-x_0}{1+x_0}} = z$, и

$$v_{y_0y} = \frac{A_0}{2\pi} \left[\pi + 2 \sqrt{\frac{1+x_0}{1-x_0}} \cdot \frac{1}{2} \ln \left| \frac{z+1}{z-1} \right| \right] = \frac{A_0}{2} \cdot (16)$$

Если $|x_0| > 1$ (точка на продолжении), то $t \sqrt{\frac{x_0-1}{x_0+1}} = z$ и

$$v_{y_0y} = \frac{A_0}{2\pi} \left[\pi - 2 \sqrt{\frac{x_0+1}{x_0-1}} \operatorname{arctg} z \right] = \frac{A_0}{2} \left(1 - \sqrt{\frac{x_0+1}{x_0-1}} \right) \quad (13)$$

Эпюра нормальных скоростей приведена на рис. 3. Теперь можно вычислить перетекание через касательное продолжение, вызванное первым членом ряда (1), которое обо-

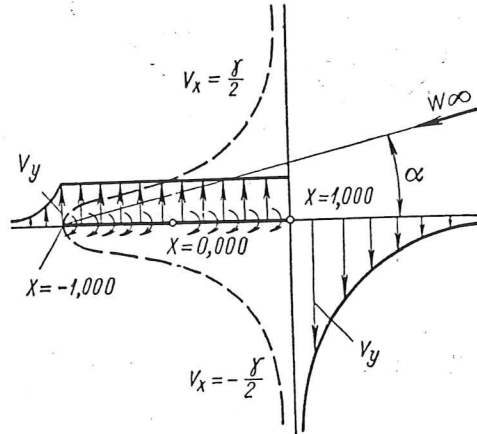


Рис. 3. Эпюра скоростей при обтекании пластины с углом атаки.

значим ΔQ_{y_0x} . Так как касательное продолжение ориентировано по левому пределу v_{y_0y} в точке $x = 1,000$, то перетекание через скелет вызывается в соответствии с (12) и (13) величиной

$$\Delta v_{y_0y} = - \frac{A_0}{2} \sqrt{\frac{x+1}{x-1}}. \quad (14)$$

Значит, перетекание через касательное продолжение

$$\Delta Q_{y_0y} = \int_{1,0}^{1+Q^*} - \frac{A_0}{2} \sqrt{\frac{x+1}{x-1}} dx.$$

Сделав замену переменных,

$$\sqrt{\frac{x+1}{x-1}} = t,$$

получим

$$\Delta Q_{y_0x} = - \frac{A_0}{2} \left[\frac{2t}{t^2-1} + \ln \left| \frac{t+1}{t-1} \right| \right] \Big|_\infty^{\sqrt{\frac{2+Q^*}{Q^*}}},$$

или окончательно

$$\Delta Q_{y_0x} = - \frac{A_0}{2} \left(Q^* \sqrt{1 + \frac{2}{Q^*}} + \ln \frac{\sqrt{1 + \frac{2}{Q^*}} + 1}{\sqrt{1 + \frac{2}{Q^*}} - 1} \right). \quad (15)$$

Определение критической точки разветвления на входе. Для определения координат критической точки разветвления следует решить систему двух уравнений

$$\left. \begin{aligned} W_x &= 0 \\ W_y &= 0 \end{aligned} \right\} \quad (12)$$

Вначале рассмотрим случай, когда точечный источник находится в точке $x = 1,00$. Введем новую координату $\bar{x} = x - 1$

(рис. 4). Если пренебречь изменением скоростей от всех скелетов, кроме основного, при переходе из точки $x = 1,000$ в точку K , а также принять, что в точке K $v_{yx} = v_{y_0x}$ и $\Delta v_{yy} = \Delta v_{y_0y}$ (по отношению к левому пределу при $x = 1,00$), то уравнение (16) можно записать в следующем виде:

$$\left. \begin{aligned} v_{Qx} + v_{qx} + v_{y_0x} + W_{x^*} &= 0; \\ v_{Qy} + v_{qy} + \Delta v_{y_0y} + \bar{W}_y &= 0, \end{aligned} \right\} \quad (17)$$

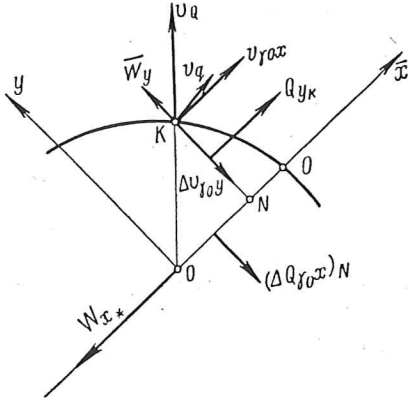


Рис. 4. К определению точки разветвления на входе.

причем

$$W_{x^*} = \sqrt{[W_{u_1} - (v_{yy} - \bar{W}_y) \sin \beta]^2 + \dots + |W_{z_1} + (v_{yy} - \bar{W}_y) \cos \beta|^2 + v_{kx}}$$

где W_{u_1} и W_{z_1} — скорости от всех скелетов, кроме основного, в точке $x = 1,000$;

v_{yy} — левое предельное значение нормальной скорости от вихрей основного профиля при $x = 1,000$;

\bar{W}_y — скорость перетекания через скелет в точке $x = 1,00$;

β — угол наклона продолжения к оси u ;

v_{kx} — скорость, вызванная кривизной скелета [5].

Ур-ние (17) удобно решать методом итераций. Для нахождения первого приближения примем

$$\left. \begin{aligned} v_{qx} &= 0; & v_{qy} &= 0; & \bar{W}_y &= 0; \\ v_{y_0x} &= A_0 \frac{0,700y}{(\bar{x}^2 + y^2)^{\frac{3}{4}}}; & \Delta v_{y_0y} &= -A_0 \frac{0,700\bar{x}}{(\bar{x}^2 + y^2)^{\frac{3}{4}}}. \end{aligned} \right\} \quad (18)$$

Точные формулы для v_{y_0x} и Δv_{y_0y} [5]

$$\left. \begin{aligned} v_{y_0x} &= \frac{A_0}{2} \times \\ & \times \frac{y \sqrt{2}}{\sqrt{\bar{x}^2 + y^2} \sqrt{\sqrt{(2 + \bar{x})^2 + y^2} \sqrt{\bar{x}^2 + y^2} + \dots}} \dots \rightarrow \\ & \leftarrow \dots \frac{+ (2 + \bar{x}) \bar{x} + y^2;}{\Delta v_{y_0y} = \frac{A_0}{2} \times} \\ & \times \frac{\sqrt{\sqrt{(2 + \bar{x})^2 + y^2} \sqrt{\bar{x}^2 + y^2} + (2 + \bar{x}) \bar{x} + y^2}}{\sqrt{2} \sqrt{\bar{x}^2 + y^2}} \end{aligned} \right\} \quad (19)$$

Приближенные ф-лы (18) получаются из (19), если пренебречь квадратами \bar{x} и y . Отметим, что в ЦКТИ предложены другие приближенные формулы для v_{y_0x} и Δv_{y_0y} , которые получаются, если пренебречь кубами \bar{x} и y .

Таким образом, чтобы найти первое приближение \bar{x}_k и y_k , нужно решить систему уравнений

$$\left. \begin{aligned} \frac{Q_0^*}{2\pi} \frac{\bar{x}}{\bar{x}^2 + y^2} + A_0 \frac{0,700y}{(\bar{x}^2 + y^2)^{\frac{3}{4}}} + W_{x^*} &= 0; \\ \frac{Q_0^*}{2\pi} \frac{y}{\bar{x}^2 + y^2} - A_0 \frac{0,700\bar{x}}{(\bar{x}^2 + y^2)^{\frac{3}{4}}} &= 0. \end{aligned} \right\} \quad (20)$$

Решив эти уравнения, получим

$$\left. \begin{aligned} \bar{x}_k &= -\frac{Q_0^*}{2\pi W_{x^*}}; \\ y_k &= \sqrt{\frac{K \bar{x}_k^4}{2} + \sqrt{\left(\frac{K \bar{x}_k^4}{2}\right)^2 + K \bar{x}_k^6}}, \end{aligned} \right\} \quad (21)$$

где

$$K = \left[\frac{A_0}{Q_0^*} \right]^4 375. \quad (22)$$

Следующие приближения можно получить по формулам

$$\left. \begin{aligned} \frac{\bar{x}}{\bar{x}^2 + y^2} + \varphi &= 0; \\ \frac{y}{\bar{x}^2 + y^2} + \psi &= 0, \end{aligned} \right\} \quad (23)$$

или решив уравнения

$$\left. \begin{aligned} \bar{x}_k &= -\frac{\varphi}{\varphi^2 + \psi^2}; \\ y_k &= -\frac{\psi}{\psi^2 + \varphi^2}, \end{aligned} \right\} \quad (24)$$

где

$$\varphi = \frac{2\pi (v_{qx} + v_{y_0x} + W_{x^*})}{Q_0^*}; \quad \psi = \frac{2\pi (v_{qy} + \Delta v_{y_0y} + \bar{W}_y)}{Q_0^*}.$$

Величины φ и ψ в точках \bar{x}_k и y_k предыдущего приближения предварительно вычисляются по точным формулам. Отметим, что в НИС Гидропроект разработана специальная программа для определения точных значений v_{y_0x} и Δv_{y_0y} (рис. 5).

Чтобы точечный источник, расположенный в точке $x = 1,000$, обеспечивал существование критической точки K , так как ΔQ_x зависит от A_0 , то по условию (2) величину Q_0^* при заданной величине A_0 надо ограничить снизу. Это приводит к тому, что при таком расположении точечного источника мы не сможем при больших значениях A_0 получить профили с малыми радиусами закругления на входе. Чтобы избежать этого ограничения, следует поместить источник Q_0^* в точку $x_1 > 1,000$ [$\bar{x}_1 > 0$]

и на отрезке $[0; \bar{x}_1]$ поместить распределенные источники, которые бы совместно с точечным источником удовлетворили условию 3. В этом случае можно получить любой сколь угодно малый радиус кривизны, вплоть до острия, при любых значениях A_0 .

Составим уравнения для \bar{x}_k и y_k для этого случая. Они аналогичны ур-ниям (23)

$$\left. \begin{aligned} \frac{\bar{x} - \bar{x}_1}{(\bar{x} - \bar{x}_1)^2 + y^2} + \varphi &= 0; \\ \frac{y}{(\bar{x} - \bar{x}_1)^2 + y^2} + \psi &= 0, \end{aligned} \right\} \quad (25)$$

или, решив, получим

$$\left. \begin{aligned} \bar{x}_k &= -\frac{\varphi}{\varphi^2 + \psi^2} + \bar{x}_1; \\ y_k &= -\frac{\psi}{\psi^2 + \varphi^2}. \end{aligned} \right\} \quad (26)$$

В этом случае в первом приближении можно принять, что

$$v_{\gamma_{0x}} = 0; \quad \Delta v_{\gamma_{0y}} = -\frac{A_0}{2} \sqrt{\frac{2+\bar{x}}{\bar{x}}};$$

$$v_{qx} = 0; \quad v_{qy} = 0;$$

$$v_{Qx} = \frac{Q_0^*}{2\pi} \cdot \frac{\bar{x}-\bar{x}_1}{(\bar{x}-\bar{x}_1)^2 + y^2}; \quad v_{Qy} = \frac{Q_0^*}{2\pi} \cdot \frac{y}{(\bar{x}-\bar{x}_1)^2 + y^2},$$

Следующие приближения следует считать по ф-лам (26).
 Когда найдены координаты точки разветвления K , легко определить координаты точки O (см. рис. 4). Рассмотрим пространство OKN , внутри которого нет источников и стоков. По теореме Гаусса

$$\oint_{OKN} W_n ds = 0,$$

или

$$\int_{KO} W_n ds + \int_{x_k}^{Q^*} W_y dx + \int_0^{y_k} W_x dy = 0. \quad (29)$$

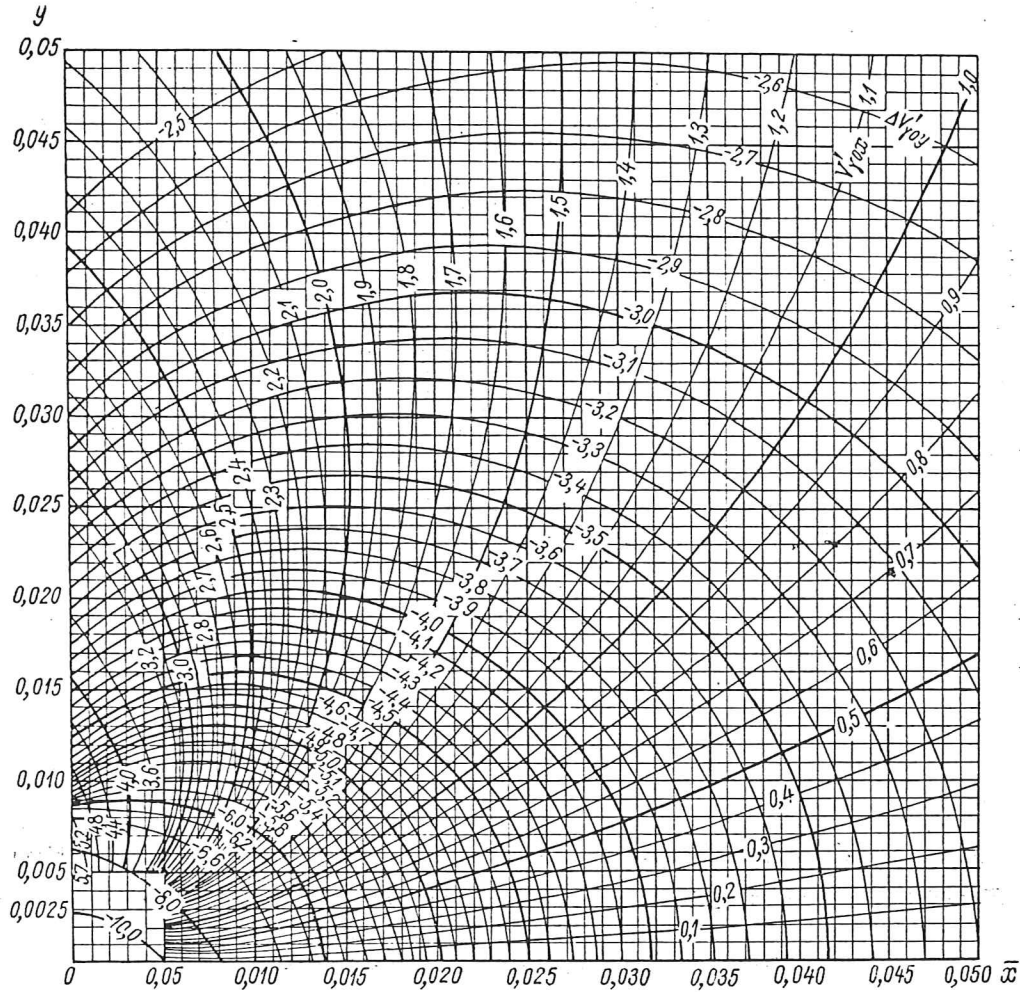


Рис. 5. Номограмма $v_{\gamma_{0x}}$ и $\Delta v_{\gamma_{0y}}$ в районе оголовка профиля.

$$\left. \begin{aligned} \frac{Q_0^*}{2\pi} \cdot \frac{\bar{x}-\bar{x}_1}{(\bar{x}-\bar{x}_1)^2 + y^2} + W_{x^*} &= 0; \\ -\frac{A_0}{2} \sqrt{\frac{2+\bar{x}}{\bar{x}}} + \frac{Q_0^*}{2\pi} \cdot \frac{y}{(\bar{x}-\bar{x}_1)^2 + y^2} &= 0. \end{aligned} \right\} (27)$$

Решив ур-ния (27), получаем первое приближение \bar{x}_k и y_k

$$\left. \begin{aligned} \bar{x}_k &= \frac{-b + \sqrt{b^2 - 4ac}}{2a}; \\ y_k &= -\frac{A_0}{2W_{x^*}} (\bar{x}_k - \bar{x}_1) \sqrt{\frac{2+\bar{x}_k}{\bar{x}_k}}, \end{aligned} \right\} (28)$$

где

$$a = 2W_{x^*}^2 + \frac{A_0^2}{2}; \quad b = \frac{Q_0^* W_{x^*}}{\pi} - 2\bar{x}_1 W_{x^*}^2 + A_0^2 \left(1 - \frac{\bar{x}_1}{2}\right); \quad c = -A_0^2 \bar{x}_1.$$

Так как KO элемент линии тока, то

$$\int_{KO} W_n ds = 0.$$

Добавим к левой и правой части ур-ния (29) $\int_0^{x_k} W_y dy$

$$\int_0^{Q^*} W_y dx = -\int_0^{y_k} W_x dy + \int_c^{x_k} W_y dx,$$

здесь

$$\int_0^{Q^*} W_y dx = \bar{W}_y Q^* + \Delta Q_{\gamma_{0x}}; \quad \int_0^{x_k} W_y dx = \bar{W}_y \bar{x}_k + (\Delta Q_{\gamma_{0x}})_N.$$

Величины $\int_0^{y_k} W_x dy = Q_{y_k}$ и $(\Delta Q_{\gamma_{0x}})_N$ легко подсчитываются;

величинами $\bar{W}_y x_k$ и $\bar{W}_y Q^*$ можно пренебречь как малыми, тогда

$$\Delta Q_{y0x} = -Q_{y_k} + (\Delta Q_{y0x})N. \quad (30)$$

Зная ΔQ_{y0x} , можно найти Q^* из таблицы, составленной по ф-ле (15).

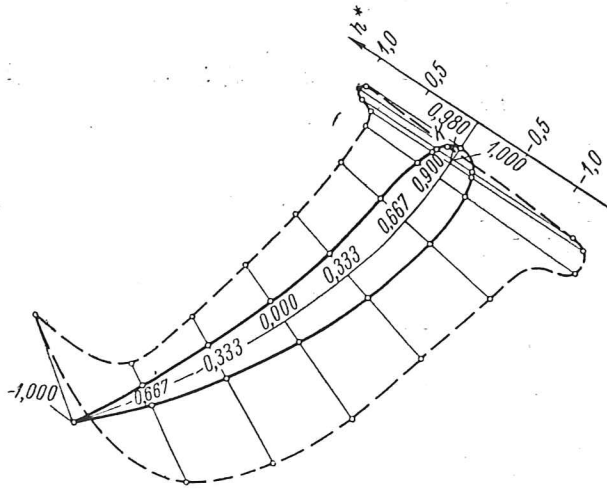


Рис. 6. Чертеж профиля, рассчитанного с углом атаки, и соответствующая эпюра давлений:

параметры решетки: $\Gamma_0 = 0,5 \Gamma = 3,894$; $l/t = 1,0$; $W_\infty = 3,894$; $\beta_\infty = 40^\circ 50'$; $U = 2,26733$; $\Gamma = 7,788$.

Практическое применение предложенного метода. При практических расчетах величину \bar{W}_y удобно задавать в виде ряда

$$\bar{W}_y = c_1 + c_2 x + c_3 x^2 + c_4 x^3, \quad (31)$$

причем коэффициенты ряда (31) должны отвечать условию 5. Кроме того, коэффициенты ряда (31) можно подчинить совместно с коэффициентами ряда (3) геометрическим характеристикам профиля, т. е. добавить к (8) и (9) еще шесть уравнений по аналогии с [5].

Согласно изложенному методу в НИС Гидропроекта были разработаны таблицы для расчета осевой решетки, а также в соответствии с теорией, развитой автором работы [6], таблицы для расчета рабочего колеса диагональной гидротурбины.

На рис. 6 показан профиль корневой решетки высоконапорного осевого колеса и эпюра давлений на этом профиле, рассчитанные в НИС Гидропроекта.

Решетка была спроектирована с $\Gamma_0 = 0,5 \Gamma$ и $l/t = 1,00$; при этом профиль получился менее изогнутым, чем аналогичный профиль, рассчитанный без угла атаки.

Выходная часть профиля разгрузилась, что должно привести к уменьшению коэффициента кавитации.

Следовательно, данный метод можно будет эффективно применять при расчете рабочих колес высоконапорных гидротурбин.

В заключение автор приносит благодарность сотрудникам отдела гидротурбин ЦКТИ и кафедры гидромашин ЛПИ, давшим ценные критические замечания по первому варианту данной работы.

Литература

1. Л е с о х и н А. Ф., Расчет лопастей рабочих колес осевых турбин, Труды ЛПИ, Энергомашиностроение, 1953, № 5, стр. 49—65.
2. К о л т о н А. Ю. и Э т и н б е р г И. Э., Основы теории и гидродинамического расчета водяных турбин, Машиз, 1958.
3. S c h o l z N., Strömungsuntersuchungen an Schaufelgittern Teil 11: Ein Berechnungsverfahren zum Entwurf von Schaufelgitterprofilen, «VDI», 1954, Heft 442.
4. S c h l i c h t i n g H., Berechnung der reibungslosen inkompressiblen Strömung für vorgegebenes ebenes Schaufelgitter, «VDI», 1955, Heft 447.
5. Э т и н б е р г И. Э., Исследование влияния размеров и формы лопастей рабочих колес на кавитационные качества осевых гидротурбин и разработка осевых гидротурбин на повышенные напоры, Автореферат диссертации, ЛПИ, 1950.
6. Г о х м а н А. М., Расчет плоской круговой решетки профилей, вращающейся с постоянной угловой скоростью, «Гидромашиностроение», 1959, № 2, стр. 14—19.

Исследование температурного режима змеевика с подъемно-опускным движением пароводяной смеси

Канд. техн. наук Л. Ю. Красякова

Приведены результаты исследования температурного режима опускной и подъемной труб при давлениях 100 и 140 ата и тепловых нагрузках до $545 \cdot 10^3$ ккал/м² ч, а также обогреваемых гибов трубы.

Элементы поверхностей нагрева с подъемно-опускным движением двухфазной смеси стали широко применяться в котлостроительной практике как в вертикальных компоновках поверхностей нагрева прямоточных котлов и котлов с многократной принудительной циркуляцией, так и в различного типа теплообменниках. Однако опытных данных для обеспечения надежного охлаждения этих элементов имеется недостаточно. Они относятся главным образом к вертикальным трубам с подъемным движением смеси. По опускному потоку опытных материалов крайне мало. В некоторых работах содержатся указания на отсутствие разницы в условиях охлаждения труб при опускном и подъемном движении.

Также отсутствовали данные по температурному режиму труб в местах гибов.

Новое исследование проводилось на той же экспериментальной установке, что и опыты 1959 г. [1]. Она включала в себя прямоточный парогенератор производительностью до 3 т/ч с вспомогательным оборудованием (деаэратор, питательные насосы и др.), подогреватели воды, дроссельные установки, впрыскивающий пароохладитель и расширитель на 13 ата. Основной

частью установки являлись экспериментальные змеевики (рис. 1), состоявшие из двух параллельно включенных змеевиков $\varnothing 35 \times 7$ мм, в нижней части которых имелись подъемно-опускные петли. Вода подавалась в змеевики через верхнюю разводящую камеру, а пар через смесители, при этом можно было получить любое паросодержание в смеси от 0 до 100%, а также недогретую воду и перегретый пар. Расходы пара и воды до смешения измерялись дроссельными приборами (диафрагмы, труба Вентури), а паросодержание смеси определялось по тепловому балансу установки. Опыты проводились на одном змеевике, на котором имелось два участка с местным обогревом. Верхний обогреваемый участок I (рис. 1), выполненный с утолщением до 100 мм, предназначался для исследования температурного режима вертикальной опускной трубы. Обогрев его производился электрической печью (рис. 2) с девятью карборундовыми нагревателями марки КНС 25/540 $\varnothing 25$ мм. Включением различных групп нагревателей, а также изменением схемы их соединения из последовательной в параллельную, можно было изменять тепловую нагрузку участка. Опыты в основном были проведены при тепловых нагрузках внутренней стенки трубы $q =$